

периода. Подобная перестройка структуры пульсаций отмечена в [7] в связи с потерей устойчивости одномерного автоколебательного режима горения и в [8] при переходе от стационарного горения к хаотическому методом бифуркаций Хопфа, когда параметр, связанный с энергией активации, превышал критическое значение. Скорость волны горения в [7, 8] определялась по перемещению $\eta = 0,5$.

Таким образом, прослежено вызванное теплопотерями изменение динамики пульсаций скорости движения фронта реакции и расходящейся с ним изолинии $\eta = 0,5$. Отметим, что среднее значение скорости распространения тепловой волны на пределе горения u_{lim} понижается меньше чем в \sqrt{e} раз по сравнению с адиабатической и не укладывается в шкалу [6] для предельной скорости стационарного горения; $u_a/u_{lim} \approx 1,26$.

Автор глубоко признателен светлой памяти А. Г. Струниной, привлекшей ее внимание к проблеме пространственной перестройки режимов безгазового горения.

ЛИТЕРАТУРА

1. Фирсов Ф. Н., Шкадинский К. Г. О горении безгазовых составов при наличии теплопотерь // ФГВ. — 1987. — 23, № 3. — С. 46—52.
2. Александров В. В., Давыденко А. А., Коваленко Ю. А. и др. О влиянии двумерности фронта при теплопотерях на пределы стационарного безгазового горения // Там же. — № 2. — С. 70—80.
3. Дворянкин А. В., Струнина А. Г. К вопросу о нестационарном горении термитных систем // Там же. — 1991. — 27, № 2. — С. 41—46.
4. Копелиович Б. Л., Несторов А. К. Зажигание и горение безгазовой смеси в отводящей тепло цилиндрической оболочке // Там же. — 1989. — 25, № 5. — С. 5—8.
5. Шкадинский К. Г., Хайкин Б. И., Мержанов А. Г. Распространение пульсирующего фронта экзотермической реакции в конденсированной фазе // Там же. — 1971. — 7, № 1. — С. 19—28.
6. Рыбанин С. С., Соболев С. Л. Скорость и пределы горения термически толстого слоя конденсированного вещества при теплообмене с инертной средой // Там же. — 1989. — 25, № 5. — С. 16—25.
7. Алдушин А. П., Мартемьянова Т. М., Мержанов А. Г. и др. Автоколебательное распространение фронта горения в гетерогенных конденсированных средах // Там же. — 1973. — 9, № 5. — С. 613—626.
8. Bayliss A., Matkowsky B. J. Two routes to chaos in condensed phase combustion // SIAM J. Appl. Math. — 1990. — 50, N 2. — P. 437—459.

220328, г. Минск,
Институт тепло- и массообмена им. А. В. Лыкова

Поступила в редакцию 11/1 1993,
после доработки — 29/III 1993

УДК 541.126

Ю. И. Рубцов, А. И. Казаков, Л. П. Андриенко, Г. Б. Манелис

КИНЕТИКА ТЕПЛОВЫДЕЛЕНИЯ ПРИ ТЕРМИЧЕСКОМ РАЗЛОЖЕНИИ ЦЕЛЛЮЛОЗЫ

Установлены кинетические закономерности и определены температурные зависимости констант скоростей термического разложения целлюлозы различного биологического происхождения и формы. Проанализирована возможность протекания термодеструкции целлюлозы в режиме горения без участия кислорода.

Кинетические параметры термического разложения целлюлозы исследовались во многих работах, например [1—4], главным образом в открытых системах и неизотермических условиях методами термического анализа. Так как эта реакция сложная и в зависимости от условий проведения процесса может идти по ряду параллельных и последовательных путей, ее кинетические характеристики в разных экспериментах заметно различаются (например, энергия активации разложения по разным оценкам меняется от 100 до 260 кДж/моль). Изменение температуры сильно влияет не только на скорость процесса, но и на глубину протекания пиролиза, по этой

© Ю. И. Рубцов, А. И. Казаков, Л. П. Андриенко, Г. Б. Манелис, 1993.

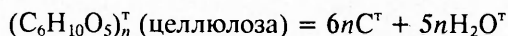
причине в неизотермических условиях энергия активации может быть сильно завышена.

В работе поставлена задача исследовать кинетику выделения тепла и тепловые эффекты при изотермическом разложении целлюлозы в условиях, исключающих сублимацию промежуточных продуктов пиролиза. Эти данные важны для понимания механизма горения содержащих целлюлозу материалов.

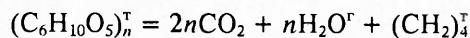
На основе литературных данных, из многообразия реакций разложения целлюлозы можно выделить два основных пути:

1) деполимеризация целлюлозной цепи с образованием левоглюкозана и его выделением в газовую фазу. При проведении реакции в вакууме с откачкой образующихся продуктов этот путь является препартивным методом получения левоглюкозана. Такая реакция не может привести к выделению тепла в системе, если исключены вторичные термические превращения левоглюкозана. Твердые целлюлоза и левоглюкозан имеют близкие значения стандартных энталпий образования [5, 6], поэтому переход целлюлозы в газообразный левоглюкозан будет идти с поглощением тепла, близким к теплоте испарения левоглюкозана;

2) термическая деструкция целлюлозного звена с образованием в основном H_2O , CO , CO_2 и коксового остатка. Такой процесс должен сопровождаться значительным выделением тепла и может играть существенную роль в горении целлюлозы. На основе величины ΔH_f^0 целлюлозы [6] можно рассчитать, что для реакции



тепловой эффект разложения ~ 1600 кДж/кг, а для другого возможного предельного уравнения разложения



теплота распада ~ 1200 кДж/кг.

Конечно, в реальных условиях при относительно низких температурах (200 — 250 °С) деструкция не идет столь глубоко, тепла выделяется меньше и образуется много смолоподобных продуктов частичной деструкции целлюлозы. Характерное для крахмала и низкомолекулярных сахаров брожение с образованием спирта и CO_2 для целлюлозы практически не идет, но и этот процесс должен сопровождаться выделением тепла. Так как энталпии образования твердых левоглюкозана и целлюлозы близки, вторичные термические превращения левоглюкозана до тех же продуктов будут идти с близкими теплотами независимо от образования газообразного левоглюкозана в качестве промежуточного продукта. Если исключить удаление газообразного левоглюкозана и других летучих продуктов из зоны реакции, процесс будет идти в направлении дегидратации и карбонизации целлюлозы с соответствующим выделением тепла, а кинетические закономерности будут определяться совокупностью скоростей разложения целлюлозы и левоглюкозана по различным путям. Именно такие условия реализованы в данной работе.

Кинетика тепловыделения при термическом разложении целлюлозы изучалась на микрокалориметре ДАК-1-2 [7] в стеклянных ампулах, предварительно вакуумированных и запаянных, полностью термостатированных в ячейке микрокалориметра и поэтому исключающих как выделение каких-либо продуктов за пределы калориметрической ячейки, так и их конденсацию на более холодных частях ампулы. Отдельные эксперименты выполнены в открытых ампулах при атмосферном давлении воздуха. Исследовались различные воздушно-сухие (влажность 7—8 %) образцы целлюлозы, выпускаемые промышленностью: хлопковая (ХЦ), древесная в форме бумаги (РБ) и для химической переработки в форме жгутиков (ЦА), а также монокристаллическая целлюлоза (МКЦ).

Примеры полученных скоростных кривых тепловыделения показаны на рис. 1. Для всех образцов, кроме МКЦ, реакция была изучена в диапазоне

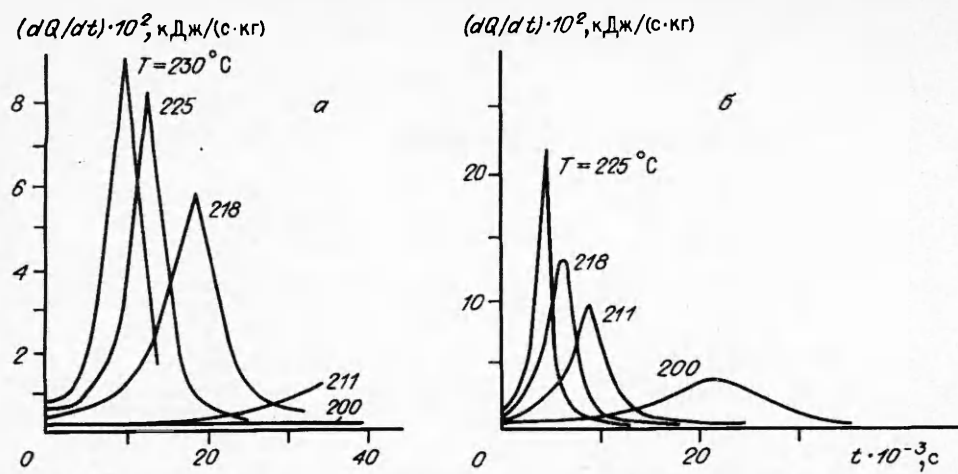


Рис. 1. Зависимость скорости тепловыделения от времени при разложении ХЦ (а) и РБ (б).

температура $T = 200 \div 233$ °С, она идет с существенным самоускорением и может быть описана уравнением автокатализа первого порядка:

$$\frac{dQ}{dt} = k_1 Q_n (1 - \eta) + k_2 Q_n \eta (1 - \eta).$$

Здесь $\eta = \int_0^t \frac{dQ}{dt} dt / Q_n$ — текущая глубина превращения; Q_n — полный тепловой эффект разложения, полученный интегрированием кинетической кривой.

Зависимость констант k_1 и k_2 от температуры имеет следующий вид:

$$\begin{aligned} \text{РБ: } & k_1 = 10^{7.7} \exp(14000/T) \text{ с}^{-1}, \\ & k_2 = 10^{9.5} \exp(-14500/T) \text{ с}^{-1}; \\ \text{ХЦ: } & k_1 = 10^{6.3} \exp(-13000/T) \text{ с}^{-1}, \\ & k_2 = 10^{8.0} \exp(-13000/T) \text{ с}^{-1}; \\ \text{ЦА: } & k_1 = 10^{7.1} \exp(-13500/T) \text{ с}^{-1}, \\ & k_2 = 10^{9.2} \exp(-14000/T) \text{ с}^{-1}. \end{aligned}$$

Как абсолютные значения скоростей, так и энергии активации разложения этих образцов целлюлозы мало различаются между собой и заметно ниже, чем в большинстве опубликованных ранее работ, что, очевидно, связано с исключением в используемой методике всех реакций сублимации. Близки между собой и значения энергий активации начальной и автокатализитической стадий, что позволяет сделать предположение о постоянстве ведущей стадии на протяжении всего процесса.

Для МКЦ начальная скорость тепловыделения приблизительно в 100 раз выше, чем для других изучавшихся образцов, а ускорения нет, скоростная кривая описывается кинетическим уравнением первого порядка. Разложение МКЦ исследовано в диапазоне температур 147,5—172 °С, зависимость константы скорости k_1 от температуры имеет вид

$$k_1 = 10^{12.1} \exp(-15800/T) \text{ с}^{-1}.$$

Тепловой эффект разложения всех исследованных образцов определялся интегрированием скоростной кривой тепловыделения. Получено $Q_n = 580 \pm 40$ кДж/кг, причем образующаяся вода выделяется в газовую фазу. Это значение ниже расчетных величин для полного разложения до углерода, что соответствует разложению с образованием значительного количества промежуточных продуктов. При более высоких температурах может иметь место дополнительное разложение с выделением тепла.

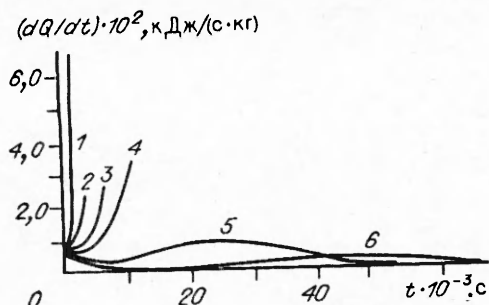


Рис. 2. Зависимость скорости тепловыделения от времени при разложении ХЦ при $T = 231,8$ °С.

$\frac{m}{V} \cdot 10^3$, кг/дм³: 1 – 110, 2 – 73, 3 – 60, 4 – 34,5 – 10, 6 – 6.

На рис. 2 приведены скоростные кривые тепловыделения при термическом распаде целлюлозы ХЦ. При близких начальных скоростях степень самоускорения растет с увеличением m/V , что соответствует повышению парциального давления продуктов разложения в ампуле. Эти эксперименты свидетельствуют о катализе распада газообразным конечным продуктом. В то же время, хотя и более слабое, но вполне заметное самоускорение есть и при очень малых m/V , когда газообразные продукты практически не накапливаются, т. е. частично ускорение определяется и накоплением конденсированных продуктов. Можно предполагать, что ускорение определяется прежде всего накоплением воды и CO₂ с развитием кислотного гидролиза и последующим распадом образующейся глюкозы.

Действительно, глюкоза в таких условиях распадается с несколько более высокой скоростью и с самоускорением, ее накопление должно приводить к увеличению скорости тепловыделения. В то же время очевидно, что и частично деструктированная целлюлоза (например МКЦ, полученная из обычной целлюлозы кислотной деструкцией аморфных областей) разлагается с более высокой скоростью, и это может быть причиной самоускорения реакции при малых m/V . При проведении реакции в открытой ампуле при доступе кислорода воздуха кинетические закономерности изменяются относительно слабо, но теплота реакции возрастает до 4500 кДж/кг и более, что связано со вторичными процессами окисления продуктов деструкции целлюлозы.

Таким образом, целлюлоза способна к термическому разложению со значительным выделением тепла и достаточно высокими скоростями. Вообще следует отметить, что целлюлоза имеет максимальное тепло содержание среди рассматриваемых продуктов. Энталпия образования системы $6C^\circ + 6H_2O^\circ = -1447$ кДж, при переходе к системе $\frac{1}{n} [C_6H_{10}O_5]^\circ$ (целлюлоза) + H₂O^г она возрастает до $-(1190-1205)$ кДж, а при дальнейшем присоединении воды с образованием глюкозы энталпия образования уменьшается до -1270 кДж. Поэтому как термическое разложение целлюлозы с выделением воды, так и ее гидролиз с расходованием воды идут с выделением тепла, при образовании жидкой воды (вместо газообразной) теплоты реакций станут еще выше. Термическое разложение глюкозы на углерод и воду также должно идти с выделением ~ 1000 кДж/кг, в реальных экспериментах при неполной деструкции выделяется ~ 400 кДж/кг. Существенное выделение тепла при деструкции целлюлозы создает предпосылки для протекания такого процесса в режиме горения без участия кислорода. Действительно, теплота и скорость разложения целлюлозы выше, чем исследовавшийся ранее образец нитроаммофоски [8], способность которой к медленному «сигарообразному» горению установлена экспериментально, причем все тепловыделение определяется разложением аммиачной селитры, являющейся окислителем; кислород воздуха в ее разложении не участвует. У нитроаммофоски теплота разложения 520 кДж/кг, что дает адиабатический разогрев от 20 до 320 °С без учета сублимации аммиачной селитры, что приведет к уменьшению реальной температуры, константа скорости распада при этом 4 с^{-1} . Для МКЦ теплота разложения 580 кДж/кг, температура адиабатического разогрева 350 °С, константа скорости распада 10 с^{-1} , а возможность сублимации ниже, чем у селитры.

Для изучения горения целлюлозы в таких условиях необходимо организовать эксперименты в атмосфере, не содержащей кислорода, на образцах достаточно большого диаметра, превышающего критический диаметр горения. Для горения нитроаммофоски использовались образцы массой 4 кг и диаметром ~10 см, из-за низкой теплопроводности целлюлозы ее критический диаметр горения может оказаться существенно больше в связи с необходимостью образования широкой зоны прогрева. Возможность такого самоподдерживающегося горения целлюлозы имеет большое значение для пожаров больших масс материалов, содержащих целлюлозу, в первую очередь для подземного горения торфа и горения больших буртов хлопка. Достаточно большой очаг горения может распространяться по веществу без подвода к нему кислорода, что должно сильно затруднить тушение пожара, как это и имеет место при горении торфяников. Кроме того, учет такой экзотермической реакции во фронте горения в конденсированной фазе необходим для правильного понимания механизма горения содержащих целлюлозу материалов.

Итак, в работе исследованы кинетические закономерности и определены температурные зависимости констант скоростей термического разложения целлюлозы различной природы и формы. Показана возможность протекания термодеструкции целлюлозы в режиме горения без участия кислорода.

ЛИТЕРАТУРА

1. Bradbary A. G. W., Sakai J., Shafizaden F. A kinetic model for pyrolysis cellulose // J. Appl. Polym. Sci.— 1979.— 23, N 11.— P. 3271—3280.
2. Philipp B. Degradation of cellulose — mechanisms and applications // Pure and Appl. Chem.— 1984.— 56, № 3.— P. 391—402.
3. Bilbao R., Arauzo J., Millera A. Kinetics of thermal decomposition of cellulose. Pt I. Influence of experimental conditions // — Thermochim. Acta.— 1987.— 120.— P. 121—141.
4. Николаева Н. Е., Малиновская Г. К., Горянов В. М. Кинетика неизотермического разложения целлюлозы // ЖПХ.— 1984.— 57, № 19.— С. 2143—2146.
5. Сталл Д., Вестрам Э., Зинке Г. Химическая термодинамика органических соединений.— М.: Мир, 1971.— С. 807.
6. Jessup R. S., Prosen E. J. Heats of combustion and formation of cellulose and nitrocellulose (cellulose nitrate) // J. Res. Natl. Bur. Std.— 1950.— 44.— P. 387—393.
7. Гальперин Л. Н., Колесов Ю. Р., Машкинов Л. Б. и др. Дифференциальные автоматические калориметры (ДАК) различного назначения // Шестая Всесоюз. конф. по калориметрии.— Тбилиси; Мецниереба, 1973.— С. 539—543.
8. Рубцов Ю. И., Мошкович Е. Б., Стрижевский И. И. и др. Термическое разложение нитроаммофоски // ЖПХ.— 1985.— 58, № 11.— С. 2413—2417.

142432, п. Черноголовка,
Институт химической физики
в Черноголовке РАН

Поступила в редакцию 23/X 1992,
после доработки — 16/II 1993

УДК 536.46 + 536.24

B. B. Несмелов

ВЛИЯНИЕ ТЕМПА НАГРЕВА НА ХАРАКТЕРИСТИКИ ТЕПЛОПЕРЕНОСА ПРИ ТЕРМИЧЕСКОЙ ДЕСТРУКЦИИ ФЕНОЛЬНОГО УГЛЕПЛАСТИКА

Методами электротермографического и термогравиметрического анализа исследован углепластик на основе фенольного связующего в диапазоне скоростей нагрева до ~150 К/с. Определены термокинетические константы реакции термического разложения и теплофизические характеристики материала в зависимости от температуры отжига. Показано, что увеличение темпа нагрева приводит к смещению температурных зависимостей теплоемкости и теплопроводности углепластика в область высоких температур. Результаты обобщены в виде универсальных зависимостей, позволяющих при математическом моделировании процессов термохимического разрушения теплозащитных покрытий учитывать смещение теплофизических параметров через изменение плотности материала в процессе термической деструкции.

© B. B. Несмелов, 1993.